

大阪市立大学 工学部 正員 倉田宗章  
 大阪市立大学 工学部 正員 〇堀川 都志雄

1. はしがき;

厚板の解析を行うにあたって、3次元弾性論を無視することは出来ない。まず、3次元弾性論の解法としては、i) Maxwell-Moreraに代表される応力ポテンシャルを用いるもの<sup>1)</sup>、ii) Boussinesqに代表される変位ポテンシャルを用いるもの<sup>2)</sup>があり、ii)に注目すると、① 3重フーリエ級数を用いるK.T.R.S.Iyengarらの解析、② Hankel変換を用いるI.N.Sneddon、牟岐、斎藤、宮本<sup>3)</sup>らの解析、③ 有限フーリエ変換を用いる能田<sup>4)</sup>の解析、④ いわゆるIntegral methodを用いる岡村・島田<sup>5)</sup>の解析、⑤ 3次元有限要素を用いる有限要素法、等の種々のものが研究されている。一方、従来からの薄板理論を修正改良して、厚板の解析に適用しようとする理論展開も少なくない。二、三の例としては、⑥ 縦方向のせん断変形を考慮したE.Reissnerによる理論<sup>6)</sup>、⑦  $\sigma_z$ の分布型のみを仮定するA.Krömmによる理論、⑧ 平面応力状態を用いるA.E.H.Loveによる理論、⑨ load-functionのみを仮定するK.Hataによる理論<sup>7)</sup>、等が発表されている。

本題においては、周辺単純支持されている板が、中央部に部分荷重を受けた場合、従来の薄板理論、Reissner理論の限界を3次元弾性論に基づく厚板理論から、数値的に検討しようとするものである。

2. 各理論式;

各理論式の誘導等については、紙面の都合上省略する。結果のみを記す。

A). Reissner 理論

上面載荷荷重のみが作用する場合	body-forceのみが作用する場合
$\nabla^2 \Delta \Delta W = q - \frac{(2-\nu)h^2}{10(1-\nu)} \Delta q$	$\nabla^2 \Delta \Delta W = B_3 h - \frac{(2-\nu)h^2}{60(1-\nu)} \Delta B_3$
$\frac{h^2}{10} \Delta Q_x - Q_x = \nabla^2 \frac{\partial W}{\partial x} + \frac{h^2}{10} \frac{1}{1-\nu} \frac{\partial q}{\partial x}$	$\frac{h^2}{10} \Delta Q_x - Q_x = \nabla^2 \frac{\partial W}{\partial x} + \frac{(6-5\nu)h^2}{60(1-\nu)} \frac{\partial B_3}{\partial x}$
$\frac{h^2}{10} \Delta Q_y - Q_y = \nabla^2 \frac{\partial W}{\partial y} + \frac{h^2}{10} \frac{1}{1-\nu} \frac{\partial q}{\partial y}$	$\frac{h^2}{10} \Delta Q_y - Q_y = \nabla^2 \frac{\partial W}{\partial y} + \frac{(6-5\nu)h^2}{60(1-\nu)} \frac{\partial B_3}{\partial y}$
$M_x = -\nabla^2 \left( \frac{\partial^2 W}{\partial x^2} + \frac{\partial^2 W}{\partial y^2} \right) + \frac{h^2}{5} \frac{\partial Q_x}{\partial x} - \frac{\nu h^2}{10(1-\nu)} q$	$M_x = -\nabla^2 \left( \frac{\partial^2 W}{\partial x^2} + \frac{\partial^2 W}{\partial y^2} \right) + \frac{h^2}{5} \frac{\partial Q_x}{\partial x} - \frac{11\nu h^2}{60(1-\nu)} B_3$
$M_y = -\nabla^2 \left( \frac{\partial^2 W}{\partial x^2} + \frac{\partial^2 W}{\partial y^2} \right) + \frac{h^2}{5} \frac{\partial Q_y}{\partial y} - \frac{\nu h^2}{10(1-\nu)} q$	$M_y = -\nabla^2 \left( \frac{\partial^2 W}{\partial x^2} + \frac{\partial^2 W}{\partial y^2} \right) + \frac{h^2}{5} \frac{\partial Q_y}{\partial y} - \frac{11\nu h^2}{60(1-\nu)} B_3$
$M_{xy} = -\nabla^2 \frac{\partial^2 W}{\partial x \partial y} + \frac{h^2}{10} \left( \frac{\partial Q_x}{\partial y} + \frac{\partial Q_y}{\partial x} \right)$	$M_{xy} = -\nabla^2 \frac{\partial^2 W}{\partial x \partial y} + \frac{h^2}{10} \left( \frac{\partial Q_x}{\partial y} + \frac{\partial Q_y}{\partial x} \right)$

B). 厚板理論 ----- 変位ポテンシャルの中の Galerkin-vector を用いる。

$$\begin{aligned}
 u &= (1/2G)[2(1-\nu)\Delta X - (\partial/\partial x) \operatorname{div} F], \quad v = (1/2G)[2(1-\nu)\Delta Y - (\partial/\partial y) \operatorname{div} F], \quad w = (1/2G)[2(1-\nu)\Delta Z - (\partial/\partial z) \operatorname{div} F] \\
 \sigma_x &= 2(1-\nu)\partial^2 X/\partial x^2 + (\nu\Delta - \partial^2/\partial x^2) \operatorname{div} F, \quad \sigma_y = 2(1-\nu)\partial^2 Y/\partial y^2 + (\nu\Delta - \partial^2/\partial y^2) \operatorname{div} F, \quad \sigma_z = 2(1-\nu)\partial^2 Z/\partial z^2 + (\nu\Delta - \partial^2/\partial z^2) \operatorname{div} F \\
 \tau_{xy} &= (1-\nu)(\partial^2 X/\partial y^2 + \partial^2 Y/\partial x^2) - (\partial^2/\partial x \partial y) \operatorname{div} F, \quad \tau_{yz} = (1-\nu)(\partial^2 Y/\partial z^2 + \partial^2 Z/\partial y^2) - (\partial^2/\partial y \partial z) \operatorname{div} F, \quad \tau_{zx} = (1-\nu)(\partial^2 X/\partial z^2 + \partial^2 Z/\partial x^2) - (\partial^2/\partial x \partial z) \operatorname{div} F \\
 \Delta \Delta F &= -B/(1-\nu)
 \end{aligned}
 \tag{1}$$

ここで、 $\nabla^2$ : 板の曲げ剛度,  $h$ : 板厚,  $\nu$ : ポアソン比,  $G$ : せん断弾性定数,  $\Delta$ : Laplace's operator  
 $F = Xi + Yj + Zk$ ; Galerkin-vector,  $B = B_x i + B_y j + B_z k$ ; body-force

1). I.S.Sokolnikoff, Mathematical theory of elasticity. 2). H.W.Westergaard, Theory of elasticity and plasticity.  
 3). 宮本博, 三次元弾性論. 裳華房  
 4). S.Nomachi, "On onemethod for solving three-dimensional stress problems by means of finite Fourier transformation"  
 Pro. 6th. Jap. Nat. Cong. Appl. Mech, 1956.  
 5). 岡村実一・島田功, "3次元弾性問題の一般数値解法とその応用". 土木学会論文集, vol.199. p33. 昭47.

### 3. 数値計算例;

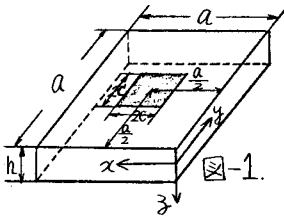


図-1. に示すような板が、周辺単純支持されており、板の中央部において部分荷重  $q$  (荷重面積  $2c \times 2c$ ) を受けた場合を示す。

ここで、  $A=1.0$ ,  $\nu=0.3$ ,  $\delta=h/a$ ,  $E$ ; ヤング率,  $D=\frac{Eh^3}{12(1-\nu^2)}$ ,  $B_3$ ;  $y$  方向の body-force  
 実線; 厚板理論, 破線; Reissner理論, 一点鎖線; 薄板理論,

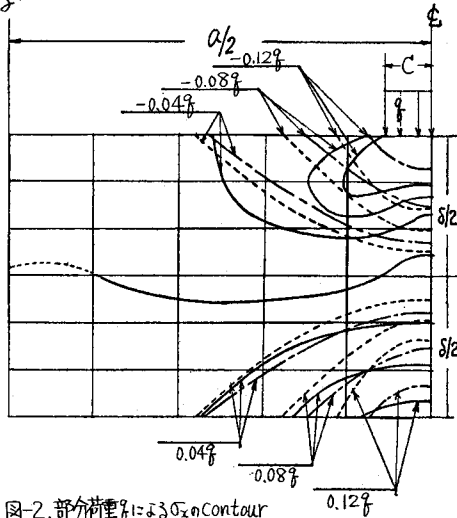


図-2. 部分荷重  $q$  による  $\sigma_x$  の Contour  
 ( $C/a=0.1$ ,  $\delta=0.3$ ,  $y/a=0.5$ )

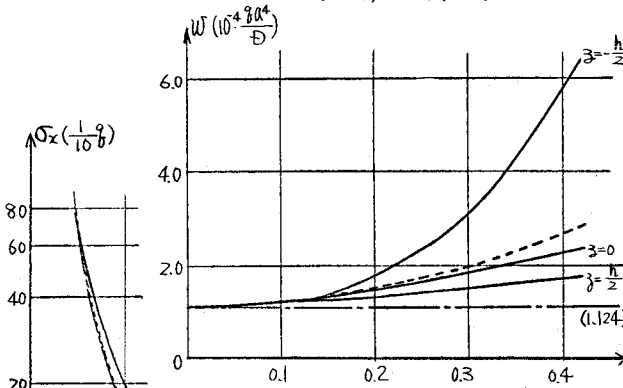


図-4.  $x=y=a/2$  におけるたわみ  $W$  の比較 ( $C/a=0.1$ )

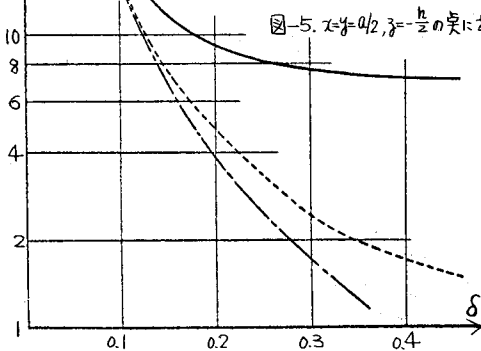


図-5.  $x=y=a/2, z=h/2$  の点における  $\sigma_x$  の比較 ( $C/a=0.1$ )

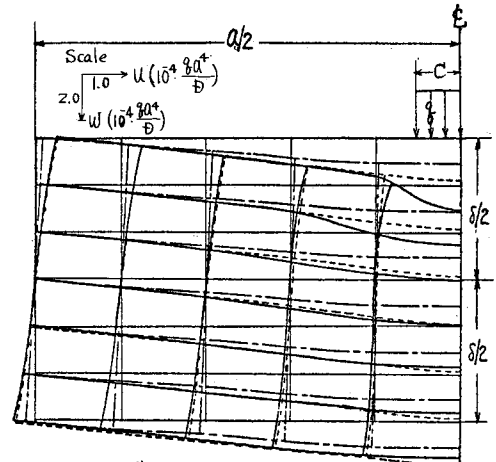


図-3. 部分荷重による変形図 ( $C/a=0.1$ ,  $\delta=0.3$ ,  $y/a=0.5$ )

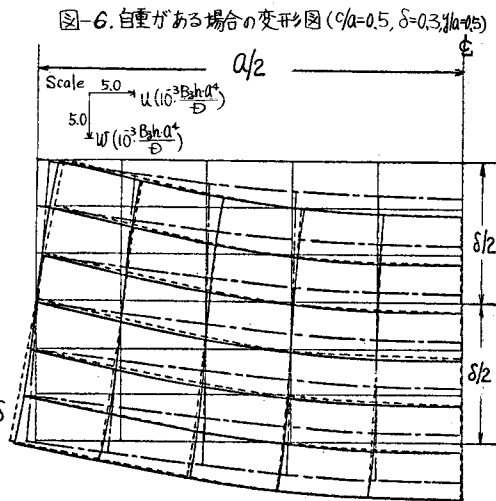


図-6. 自重がある場合の変形図 ( $C/a=0.5$ ,  $\delta=0.3$ ,  $y/a=0.5$ )

### 4. おわりに;

薄板理論は  $\delta=0.1$  以下で、Reissner理論は  $\delta=0.15$  以下の範囲で適用されるべきであり、荷重突近傍のたわみ  $W$ , 応力  $\sigma_x$  の卓越する現象を表現できないことが分った。他の載荷状態については、当日発表する。

- ① E. Reissner, "The effect of transverse-shear deformation on the bending of elastic plates." J. A. M. vol 12, 1945, p.69.
- ② K. Hata, "On the thick plate Problem." 北工学部研究報告, 通巻41号, 昭28, p.428